

上海工具厂李耘夫编

刃具热处理件减少变形的方法

科技卫生出版社

目 录

1. 在現場中造成熱處理件變形的幾種因素.....	1
2. 碳素工具鋼制的絲錐減少尺寸變形的熱處理工藝.....	3
3. 合金鋼制刀具減少變形的實例.....	12
4. 高速鋼刀具減少變形的工藝.....	14
5. 幾種減少變形冷卻劑的應用.....	26
參考資料.....	30

刃具热处理件减少变形的方法

热处理件的变形是現場生产中經常遇到的問題，它对要求較高的精密刀具和机械零件之热处理后的質量影响尤其突出，因此將本厂有关热处理过程中所产生的变形和防止方法，以各种要求精密的刀具为例作若干說明。

1. 在現場中造成热处理件变形的几种因素

热处理后的零件变形的原因牽涉面很广，这里仅將与刀具有关的几个变形因素簡單介紹如下：

(1) 淬火后由于鋼組織比容的增大而造成变形是极普遍存在的，因为淬火的目的是为了得到高硬度的馬氏体組織，而馬氏体組織又是鋼的組織中比容最大的組織，所以淬火后不可避免地或多或少产生体积膨胀，造成变形。因此要减少变形，必須在保証硬度的前提下，減少馬氏体的量来解决。

(2) 热处理件在淬火过程的連續冷却中，由于冷却剂的冷却速度过高，使工件自高温冷却到一定温度，由于热应力的作用使工件产生了变形。要防止这种变形，必須在保証达到临界冷速的前提下，采用各种方法，降低冷却速度，縮短加热温度与冷却剂的温度差距，特別有效的是降低工件在馬氏体轉变区域內的冷却速度来解决。

(3) 在整个热处理件上冷却不均匀是造成变形的关键之一，它是由于冷却剂或工件本身形狀的原因而产生的。因为在

冷却过程中，由于部分冷却速度的高或低，形成工件在冷却后得到不同的组织，不同组织的比容大小不一，因此造成由于在同一工件得到组织转变的不一致而引起变形。如由于工件表面在冷却剂中形成气泡，或水中有油、油中有水或扁平工件二面冷却不一致等均能引起严重地变形，要防止这些因素产生，必须对不同的工件采用合理的冷却剂，或采用机械方法促使截面的均匀冷却来解决。

(4) 由于加热温度过高造成工件在高温过热状态下塑性增加，强度减弱，在内应力的作用下造成变形。

(5) 由于零件本身形状复杂或细长的情况下，经热处理后极易引起严重的变形，这种变形的形成主要是工件本身部分或整体的强度较低，在内应力的作用下所造成的。

(6) 由于原材料原始组织不良引起变形，如未球化或不完全球化的组织经淬火后变形较完全球化组织为大，其原因是原始组织的比容与淬火组织的比容差的大小而形成，又如碳化物的分布不均匀，造成淬火后马氏体的含碳量或马氏体的量分布不匀造成淬火组织比容大小而引起的。

(7) 由于工件在热处理前已存在较大的内应力，经淬火后内应力超过工件的机械强度造成变形，如原材料由于加工不良，应力较大，或零件经较复杂或负荷较大的加工引起较大的内应力，在加热和冷却中工件塑性较好时产生变形。

(8) 加热与冷却方式不合理而引起的变形，在实际生产过程中也很常见，如在加热时放置不平或不垂直，在塑性状态下由于工件本身的重量而产生变形；又如冷却时由于投入方法不合理引起冷却不均匀，也易产生变形。

(9) 操作者由于进行不合理的操作，也极易造成变形，这种

情況常发生在高温塑性較好的情況下，因操作不穩，造成幌動，結果產生變形。

以上幾種變形的造成都是由於熱應力和相變應力或工件受到外加機械力量的作用而引起的，因此要防止變形，就必須從多方面設法減少造成變形的因素。下面舉例子說明減少變形的熱處理工藝的具體運用。

2. 碳素工具鋼制的絲錐減少尺寸變形的熱處理工藝

我們對變形問題分析如下：

產生變形的原因有組織應力和熱應力兩種，這二種都是內應力，它能使工件的形狀彎曲、歪扭和引起尺寸變化，如伸長、縮短、加厚、變粗等。

(1) 热應力：凡金屬都有熱漲冷縮的特性，當它在加熱或冷卻時，由於沿着截面內外溫度不均勻，引起內外體積膨脹或收縮不一致，因而產生應力，這種稱為熱應力。冷卻時所產生的應力比加熱時所產生的應力為大，所以先研究一下冷卻時所產生的熱應力。

當金屬在一定的溫度中較迅速的冷卻時，外層先冷，因而外層的體積較內層收縮為多，內層受的是壓應力而外層受的是張應力。

在繼續冷卻時，內外溫差減少，內層體積的收縮接近於外層體積的收縮，但因外層金屬此時已失去塑性，阻止內層的收縮，故使內層受張應力而外層受壓應力，由於熱應力而引起的尺寸變化是使長形工件縮短，直徑增大，如圖1所示。

(2) 組織應力：由於金相變化的結果而產生的應力稱為組織應力，未淬透的鋼中沿截面得到不同的結構，各種不同結構

(如馬氏体、屈氏体等)有不同的比容，它們的綫膨脹系數也不一樣，因而產生了應力。在淬透的鋼中由於外層較內層先冷，其相



圖 1

變並非在同一瞬間發生，表面先轉變為馬氏體，體積膨脹，而內層則阻止其膨脹，此時外層受壓應力，內層受張應力。繼續冷卻，內層也轉變為馬氏體，體積膨脹，但已失去塑性的外層阻止其膨脹，此時外層受張應力，而內層受壓應力。由於組織應力而引起的尺寸變化會使長形工件伸長，直徑減少，如圖 2 所示。

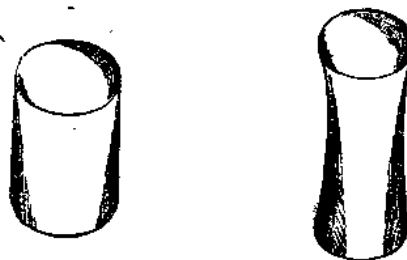


圖 2

以上是將熱應力與相變應力分別敘述，如果這二種應力在工件中同時產生，則其變形就較複雜。工件在淬火後產生的最後應力大小和符號決定於熱應力和相變應力的加強或相互抵消，工件在淬火後變形的程度和形狀就決定於最後應力的大小和符號。由上面分析可知，絲錐用不同的淬火方法可以得到不

同的尺寸变化，如果淬火的結果热应力大于組織应力，則直徑漲大；如組織应力大于热应力，則直徑变小；但絲錐本身的形狀并非簡單的長形工件，因此它的变形情況不完全符合上述規律，但是我們可以得出這樣的結論：絲錐淬火后的尺寸变化其直徑可能漲大也可能縮小，由热處理的工艺决定。除此之外，原材料碳化物的不均匀性也同样能引起縱向和橫向的变形。

3) 原始組織对变形的影响：一般碳素工具鋼和合金工具鋼的原始組織必須是球狀珠光体，其原因有二种：1. 机械加工性能好；2. 淬火后变形少。

球狀珠光体变形少是由于奥氏体分解的各种結構，具有不同的比容，馬氏体为最大，奥氏体为最小，珠光体的比容介于馬氏体与奥氏体之間，淬火前是珠光体，淬火后是馬氏体，这显然將使比容增大，因而产生了尺寸变化。但如淬火前能將組織調整到接近淬火后的比容，就可以減少变形。珠光体的类型中有片狀的和球狀的，还有比球狀珠光体更細的索氏体。

球狀珠光体的比容較片狀的大，而索氏体又較球狀珠光体大，因此三者比較起来索氏体的比容比較接近于馬氏体，但此三者之間的差別并不大，和馬氏体比較起来均有很大距离，因此調整原始組織为索氏体好处不大。因为索氏体的硬度較高，不宜于切削加工。另外在逐一淬火的情况下，索氏体的碳化物溶解速度較快（因为碳化物的溶解速度取决于表面积的大小），所形成的固溶体含碳濃度較高，故可具有冷却后保存多量的殘留奥氏体，但与此相伴而生的是由于固溶体碳的濃度高后，得到的馬氏体增加了正方性，体积長大，因此二者的效果恰巧相反互相抵消。根据上述几点可以理解，原始組織以采用球狀珠光体最适当，它具有良好的机械加工性能，变形与索氏体相差不大。

减少变形的热处理方法如下：

由图3可知，含碳1.2%的钢在室温时的奥氏体比容与室温时的马氏体的比容相差甚大，因此要减少变形，可调整淬火后的奥氏体的量，这方法要比调整淬火前的组织容易，并且效果也较大。调整淬火后残留奥氏体的量的方法有二种：

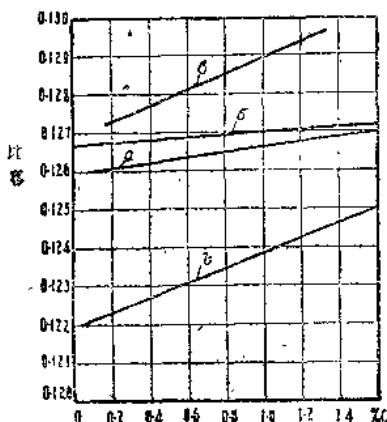


图3 钢—碳相的比容与含碳量

④—马氏体开始形成瞬间奥氏体的比容； ⑤—室温时珠光体的比容； ⑥—室温时马氏体的比容； ⑦—室温时奥氏体的比容

(1) 提高淬火温度：提高淬火温度可使奥氏体稳定，增加淬火后残留奥氏体的量，但因淬火温度提高，增加了固溶体中碳的浓度，也就增加了马氏体的正方性，并且不适当的提高淬火温度会使马氏体变粗，降低钢的强度，如_{去12#}钢淬火温度由780°C提高到850°C，强度要降低50%。因此我们必须确定提高淬火温度的原则，即在得到最小的变形情况下尽量采用较低的温度。根据我们的经验，_{去12#}钢制丝锥由φ3~φ40，淬火温度采用770~830°C，如表1所示：

表 1

絲 鋸 規 格	淬 火 溫 度 (°C)
φ 3 ~ φ12	770 ~ 780
φ14 ~ φ28	790 ~ 800
φ30 ~ φ40	820 ~ 830

(2) 选择恰当的冷却方法：

甲、在 M_H 点附近等温处理：在 M_H 点附近等温相当时间可促使热应力（即淬冷时工件外层所受的张应力）得到松弛和减少，并能使奥氏体稳定，减少了马氏体的量。

如在低于 M_H 点的温度作等温除能得到上述的二个好处外，还可使最初形成的马氏体转变成为配火马氏体，减小马氏体的比容。

另外如果能在等温停留后，在马氏体转变区用缓慢的速度冷却，能使应力继续松弛，并能使马氏体中的碳析出，减小马氏体的正方性，更进一步地促使变形的减少，表 2 为马氏体区域中冷却速度对残留奥氏体量的影响（从 800°C 淬火在 200°C 热浴中等温后的不同冷速）。

表 2

钢 号	自 200°C 到室温的冷却	長度变化 %	体积变化 %	殘留奧氏体 %	硬 度 R_o
4124	水 冷	+0.22	-0.080	19	64
4124	油 冷	+0.25	-0.064	23	63
4124	气 冷	+0.15	-0.062	24	62
4124	爐 冷	+0.10	-0.056	29	62

如以等温淬火与一般双液淬火比較，所得数据如表 3 所示。

表 3

淬火方法	長度变化 %	体积变化 %	殘留奥氏体 %	硬度 R_C
一般淬火法	+0.28	-0.057	15	65
等温淬火法	+0.02	-0.025	38	61

乙、 M_C 点附近的等温处理：根据 A. II. 古里耶也夫及其他文献中曾用 M_C 点表示奥氏体在淬冷过程中有一个稳定区域的温度，因此如在此温度附近等温可使奥氏体稳定，增加残留奥氏体量以减少变形。

我們根据这一理論进行試驗，发现用这种方法与用 M_H 点附近等温变形情況沒有很大出入，当然我們試驗次数也不够，但因这种方法比較麻煩，所以未用到生产上去。

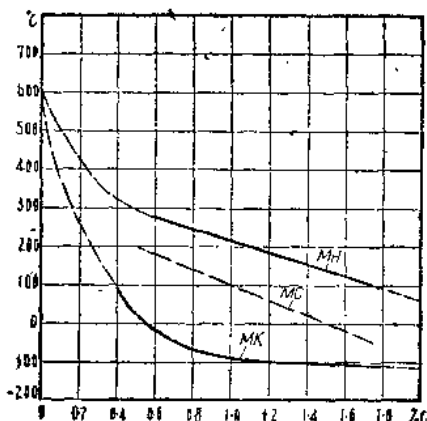


图 4 碳素钢 M_C 点的位置

新工艺的拟订：

(1) 絲錐技术条件：

硬度：工作部分 $\leq \phi 6 R_c 59 \sim 62$

$> \phi 6 R_c 61 \sim 63$

方尾： $R_a 30 \sim 45$

精度等級：E級

(2) 工艺規程制訂的依据：

甲、根据等温处理的稳定作用，并酌量地提高加热温度；

乙、实际測量变形的程度；

丙、依据切削試驗；

丁、檢查金相組織。

(3) 工艺規程：

甲、去12H 原材料組織：球狀珠光体，級別 3~8 (按 ISO/T
1435-54 評級)。

預 热： 600°C 0.5 分/公厘；

最后加热： $770 \sim 830^{\circ}\text{C}$ 0.25~0.3 分/公厘；

等温冷却：第一鹽浴 $180 \sim 200^{\circ}\text{C}$ 停留 1~5 分鐘；

第二鹽浴 $200 \sim 220^{\circ}\text{C}$ 停留 30 分鐘；

配 火： $150 \sim 200^{\circ}\text{C}$ 60 分鐘。

注：在第一鹽浴冷却后立即投入第二鹽浴作等温停留，使用二个鹽浴的目的是：

- (1) 保持第一鹽浴的溫度及容积，不因工件放入太多而受到影响；
- (2) 可以适当調整第二鹽浴的溫度，以求得相应的效果。

(4) 新旧淬火方法变形情况的比较:

10×1.5 太124 级
600°C 5分钟 780°C 2.5分钟淬入 200°C 45分钟空冷
180°C 配火 60分钟 (新工艺)

10×1.5 太124 级
600°C 分钟 780°C O.2.5分钟淬入 180~200°C 3分钟空冷
180°C 火把 60分钟 (老工艺)

组号	测量位置	热处理前 热节距,公厘	热处理后 热节距,公厘	测端量,公厘	编号	测量位置	热处理前 热节距,公厘	热处理后 热节距,公厘	热处理后 热节距,公厘	测端量,公厘	
							前四牙	后五牙	前四牙	后五牙	
1	前四牙	9.063	9.070	0.007	1	前四牙	9.063	9.082	9.070	9.052	0.019
	后五牙	9.058	9.065	0.007		后五牙	9.058	9.070	9.070	9.052	0.018
2	前四牙	9.065	9.071	0.006	2	前四牙	9.060	9.075	9.075	9.060	0.015
	后五牙	9.057	9.062	0.005		后五牙	9.055	9.070	9.070	9.055	0.015
3	前四牙	9.056	9.063	0.007	3	前四牙	9.059	9.075	9.075	9.059	0.016
	后五牙	9.050	9.059	0.009		后五牙	9.048	9.065	9.065	9.048	0.017
4	前四牙	9.063	9.070	0.007	4	前四牙	9.060	9.080	9.080	9.060	0.020
	后五牙	9.055	9.063	0.008		后五牙	9.051	9.075	9.075	9.051	0.024
5	前四牙	9.058	9.066	0.008	5	前四牙	9.058	9.070	9.070	9.058	0.012
	后五牙	9.050	9.059	0.009		后五牙	9.050	9.065	9.065	9.050	0.015

新工艺的实质分析：

以本工艺所采用的钢号为例(±12H), 加热温度为770~830°C, 因此在相变以上之奥氏体钢中含碳量并未达到完全溶解, 因缺少在此种处理条件下的C曲线为依据。我们假定当工件加热到780°C时, 奥氏体中被溶解之碳含量为0.9~1.0%, 则以此C曲线为依据时可查出马氏体转变的开始温度 M_H 点大約为240°C左右(或下一点), 上述工艺可以图5表示。

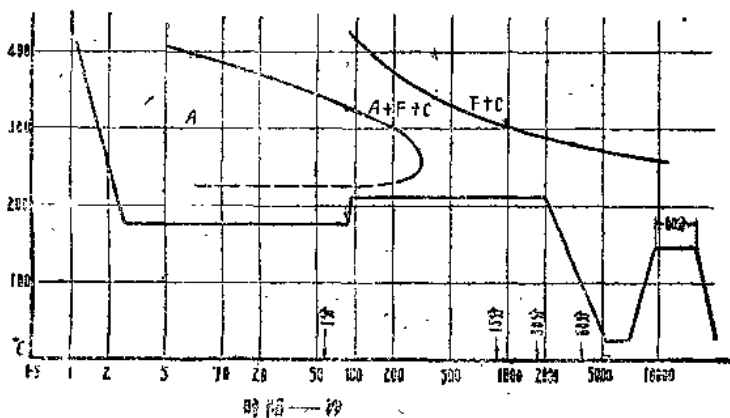


图 5

从图5可以很明显看出在第一次冷却等温槽中停留1~3分鐘, 是在 M_H 点以下保温的, 经过这段处理后, 从金相组织观点来分析应该得到马氏体和残留奥氏体。当经过抬高一定温度(10~20°C)进行保温30分鐘后, 则在此过程中是将马氏体配火成配火马氏体, 当保温结束后, 在组织中应该得到配火马氏体和奥氏体。在保温30分鐘后, 提出气冷过程中则奥氏体, 逐渐变成马氏体, 因此还须在160~170°C进行配火一次, 使马氏体变为配火马氏体(以上是按假定来分析的)。但也可能由于抬高

溫度到 200°C 而超過了 M_H 點（因前估計可能不正確）。如在此情況下，則在30分鐘的等溫過程中，起的變化應該是將已形成的馬氏體變為配火馬氏體，同時又使未轉變的奧氏體，分解成針狀屈氏體。因此應該是得到馬氏體和針狀屈氏體和殘留奧氏體，而在保溫後空冷過程中，使其中部分奧氏體逐步轉變為馬氏體。

小結：

在 M_H 點附近或以下作等溫停留後及以後的緩慢冷卻，可以減少由於熱應力所引起的變形及使奧氏體轉變為馬氏體的程度減弱，同時在等溫停留的前階段所形成的馬氏體在等溫時受到配火，減小馬氏體的比容，這些都是減少變形的主要因素。

規格不大的絲錐，淬火溫度可以不用提高，變形程度也能控制在較小的公差內，否則馬氏體就變粗，切削時絲錐刀口容易崩裂。

抬高淬火溫度主要是為了提高大規格絲錐的淬硬性能，在一般的情況下，提高淬火溫度可以使奧氏體穩定，增加殘留奧氏體量，同時增大了淬火後馬氏體的正方性，此二者對變形的作用，正好相反互相抵消。

等溫後再進行一次配火對尺寸的變化不顯著，主要是為了使等溫後在空冷過程中所形成的馬氏體得到配火。

3. 合金鋼制刀具減少變形的實例

可擴大鏟刀系9#T鋼製成，我們很長時間以來所採用的工藝是： 600°C 0.5分/公厘， 860°C 0.25~0.3分/公厘，淬入 60°C 熱油中冷卻到 150°C 左右取出立即在 160°C 中配火（採用立即配火的原因是為了防止刃部尖角處裂開），未發現有嚴重

的变形現象（当时生产的規格均在 $\phi 30$ 以下）。近来由于生产 $\phi 45 \sim \phi 50$ 的大規格刀具后，仍采用上述工艺，結果是刀部向中心部分凹进（空心的），其严重程度已到凹进 0.80 公厘，造成大量廢品。根据金屬的热漲冷縮原理分析：如果一面先冷却而另一面后冷却，则結果必然是先冷却的面縮短，造成先冷却面凹入，在繼續冷却情况下后冷却面再縮短时，由于先冷却面此时已失去塑性，无法复原。根据此原理来檢查可漲大鉸刀的冷却情况正符合上述規律，因可漲鉸刀淬入 60°C 油中时，外圓較內壁的冷却速度大，同时內壁孔中的油流动性差，散热慢，其內壁的冷却速度远小于外壁，因此就造成了图 6 的形狀。



图 6

根据上述規律，我們改变了冷却的方法，其工艺如下：

600°C 0.5 分/公厘， 860°C 0.25~0.3 分/公厘，淬入 $230 \sim 240^{\circ}\text{C}$ 中 3 分鐘后再淬入 $170 \sim 180^{\circ}\text{C}$ 中等溫 30 分鐘取出空冷 $150 \sim 160^{\circ}\text{C}$ 配火 1 小时，結果刀部向中心部分凹进 0.05 公厘以下，效果良好。此方法是采用在 M_H 点以上进行分級淬火，在 M_N 点附近（或以下）进行等溫，其目的是針對以前工艺所述的缺点而設的，因为当工件淬入 M_H 点以上热液时，減少了内外壁的温度差，又由于此时工件塑性良好，当內壁繼續冷却时，可使外壁的先冷面与內壁的后冷面的長度取得平衡。在 M_N 点以下进行等溫的目的是使在淬冷过程中的热应力得到松弛或減少，因而减少变形，不致因自馬氏体轉变区域内迅速冷却使外壁因

迅速得到馬氏体而造成外壁伸長，造成突出。从图 7 可看出在 M_H 点以上($230\sim240^{\circ}\text{C}$)处停留不会影响工件最后的硬度。

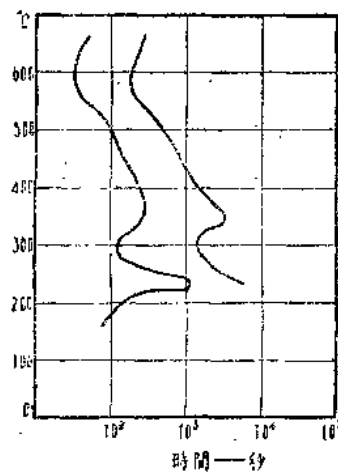


图 7

4. 高速鋼刀具減少变形的工艺

1. 成型滚刀减少尺寸变形的工艺：

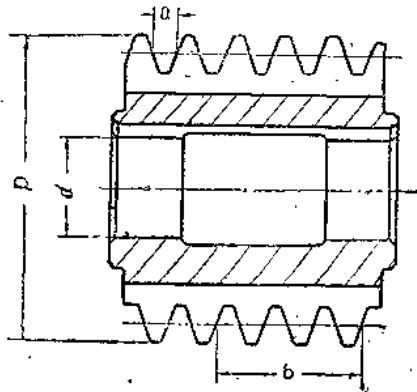


图 8

(1) 工件的材料規格:

鋼号: A18, 經鍛造加工, 碳化物偏析級別 <5 級, 有效厚度
 $= \frac{D-d}{2}$ 。

(2) 工件的技术要求:

硬度 = R₀62~65,

变形要求: 螺距公差 $a \pm 0.04$ 公厘;

三圈螺距公差 $b = 0.06$ 公厘。

(3) 工艺規程制訂的依据: 采用常規的热处理工艺, 淬火、配火后, 螺距漲縮达 ± 0.08 公厘, 軸向也略有弯曲变形, 尺寸漲縮在淬火后較小, 在配火后則甚大, 針對上述情况, 拟訂了下列措施:

甲、在粗加工与精加工之間, 施引消除应力处理, 減少淬火后弯曲变形, 間接減少尺寸变化的因素。

乙、在 560°C 配火处理时, 再繼續作 280~300°C 左右的等溫停留, 使殘留奧氏體部分的轉變為針狀屈氏體, 減少配火後的尺寸變化。

(4) 热处理工艺規程: 滾刀齒形經粗鏟后进行消除应力处理, 其規范为 600~650°C, 6 小时保温后隨爐冷却,

滾刀齒形經精鏟后进行下列热处理:

第一次預热: 600~620°C, 加熱時間 = $(1' \sim 1.5') \times \frac{D-d}{2}$

第二次預热: 800~820°C, 加熱時間 = $(0.5' \sim 0.75') \times \frac{D-d}{2}$

最后加热: 1270~1280°C, 加熱時間 = $(6'' \sim 8'') \times \frac{D-d}{2}$

冷却: 600~620°C, 冷却時間 = $(6'' \sim 8'') \times \frac{D-d}{2}$